

ISSN 1001-3628

稀有金屬

稀有
金屬
雜誌
社

013期

2

稀有金属 1989.13 No.2

包头铁水铌渣的氯化及脱锰机理*

谭赞麟 魏寿昆 朱元凯

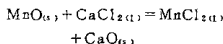
(北京科技大学)

在真空条件下,用熔融的CaCl₂对包头铁水冶炼得到的固态含铌炉渣进行氯化处理,成功地炼制出含铌约60%的Fe-Nb合金。动力学研究表明氯化反应的速率是不规则的,因而采后未反应模型(运用活度系数)对整个氯化过程的机理提供了更为合理的解释。已经证明,当氯化脱锰率高时,CaCl₂穿过微孔的固态产物层的内扩散是反应速率的控制环节;而当氯化脱锰率仅为20~40%(其值随温度而异),未反应液表面的化学反应则是速率的控制环节。

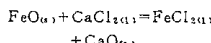
一、引言

包头高炉铁水含Mn 0.8~1.6%、Nb 0.06~0.1%^[1]。以空气或氧气吹炼该铁水获得的炉渣,经电炉还原可得含Nb 7~15%、Mn 40~60%的铁合金^[2,3]。由此可直接制造铌比高的合金钢,但却不能制造含铌极少或不含铌的合金钢^[4,5]。本文对铌渣氯化脱锰过程进行研究,以生产出高铌低锰的Nb-Fe合金。

曾有人研究过用氯气氯化包头铌渣^[6]但生产成本较高且腐蚀严重。本文采用苏打生产的副产品CaCl₂为氯化剂。由氯化反应的ΔG°-T曲线,可看到CaCl₂与MnO的反应线远低于其与Nb₂O₅的反应线。这就从理论上提供了铌锰分离的可能性。



$$\Delta G^\circ = 115230 - 35.23T \text{ J} \quad (1)$$



$$\Delta G^\circ = 140960 - 40.33T \text{ J} \quad (2)$$

热力学数据取自文献[7]、[8]。在真空条件下氯化以及炉渣中有降低CaO活度的SiO₂,均有利于氯化反应的进行。

二、实验

(一) 实验装置与材料

图1为装置及设备示意图,主要根据文献[9]的设计并加以改进。使用钢管凝结器来收集挥发组分,坩埚材料为低碳钢。所用MnO-Nb₂O₅-SiO₂和FeO-Nb₂O₅-SiO₂的合成渣均以纯氧化物或草酸盐配成,其组成与工业生产上的相同。熔点为1230~1245℃的合成渣粉末放入钼坩埚或坩埚内,在1400℃氯气气氛下预熔,然后将渣粉碎成280目后

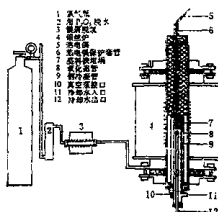


图1 实验装置示意图

* 本文系北京钢铁学院谭赞麟工学博士论文(1987)的部分内容

与适量的无水 CaCl_2 混合，制成实验用样品。初步实验表明， CaCl_2 的化学当量比为1.5倍时可使挥发物产量达最佳值。

(二) 实验方法

把装有炉渣试样的铁坩埚及凝聚器插入氧化铝管中，抽真空至 5×10^{-3} Pa然后在600℃预热半小时，把氧化铝管推进高温区，随即记下反应开始的时刻。到预定的实验时间，抽出氧化铝管并在骤冷后取出坩埚。小心收集附着在凝聚器上的粉红色 MnCl_2 凝聚物。用水溶解坩埚内的残渣以除去未反应的 CaCl_2 ，过滤、灼烧，分析残渣。

三、实验结果

(一) 动力学研究和反应活化能

图2、3分别示出 $\text{MnO-Nb}_2\text{O}_5-\text{SiO}_2$ 渣中 MnO 和 $\text{FeO-Nb}_2\text{O}_5-\text{SiO}_2$ 渣中 FeO ，在各种温度下摩尔浓度随时间的变化规律。可明显看出， MnO 和 FeO 含量都可降至1%以下，而 SiO_2 和 Nb_2O_5 的含量基本上不变。由方程(1)，因 CaCl_2 的活度实际上不变故氯化速率即脱锰速率可写成：

$$V_{\text{MnO}} = -dN_{\text{MnO}}/dt = kN_{\text{MnO}}^n \quad (3)$$

式中k比速率常数， $1/\text{min}$ ； N_{MnO} 炉渣中 MnO 的摩尔浓度；t氯化时间，min；n反应级数。

V_{MnO} 的值可根据图中曲线确定。作 $\ln V_{\text{MnO}} \sim \ln N_{\text{MnO}}$ 曲线，回归分析可求出反应级数和比速率常数。由 $\ln k$ 对 $1/T$ 的变化曲线进行回归分析，得到Arrhenius方程，

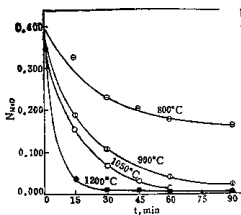


图2 氯化时 N_{MnO} 随时间的变化

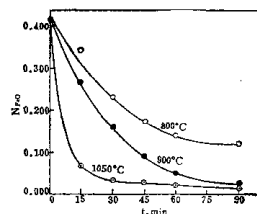


图3 氯化时 N_{FeO} 随时间的变化

表1 动力学研究结果

温度, °C	$\text{MnO-Nb}_2\text{O}_5-\text{SiO}_2$				$\text{FeO-Nb}_2\text{O}_5-\text{SiO}_2$			
	n	k 1/min	E kJ/mol	Arrhenius方程	n	k 1/min	E kJ/mol	Arrhenius方程
800	2.58	0.098		$\ln k = -\frac{3610}{T} + 0.864$	2.36	0.104		$\ln k = -\frac{2660}{T} + 2.15$
900	1.54	0.104	30.0		1.70	0.125	21.6	
1050	1.46	0.138		$(r=0.968)$	1.56	0.165		
1200	1.59	0.225			—	—		$(r \approx 1)$

$\ln k = -E/T + \text{常数}$ ，其中表现活化能 E 可由计算求出（表1）。可见氯化反应的级数是不规则的。

比较图2、3，发现 FeO 的氯化速率高于相应温度下 MnO 的氯化速率。

工业上由铁水底吹产出的2#炉渣，在氯化过程中其 MnO 和 FeO 含量随时间变化示于图4。在 1150°C 时只需氯化15分钟， MnO 和 FeO 的含量就分别下降至0.5%和0.1%。由于 FeO 初始含量高于 MnO 含量，所以在 900°C 时 FeO 的变化曲线在 MnO 的上面，但到 1000°C 时只需几分钟， FeO 的含量就比 MnO 低了。

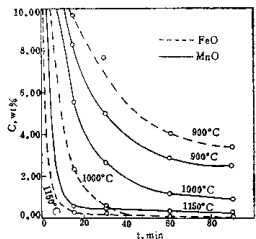


图4 氯化工业渣时 FeO 和 MnO 含量随时间的
变化曲线

渣的重量百分比成分： Nb_2O_5 7.05, MnO 21.24, FeO 26.97, SiO_2 38.70, 其余6.04

(二) 未反应核模型

氯化反应是一种液-固间的反应，发生在熔融的 CaCl_2 和固态颗粒渣（可认为是 $\text{MnO-Nb}_2\text{O}_5-\text{SiO}_2$ 固溶体）之间的界面上。这实际上是置换反应，生成的 MnCl_2 溶解于 CaCl_2 中，同时 CaO 取代了 MnO 形成 $\text{CaO-Nb}_2\text{O}_5-\text{SiO}_2$ 固溶体。若后者能快速地随着生成而扩散到未反应的颗粒中去，那就会生成一种4组分的固溶体： CaO 、 MnO 、 Nb_2O_5 和 SiO_2 。在这种情况下，只有两种液体，一种为液态，一种为固态。这样双膜理论是描述该氯化反应最合适的模型。但实际上固态物质不可能快速扩散，因此在液体 CaCl_2 与未反应核 $\text{MnO-Nb}_2\text{O}_5-\text{SiO}_2$ 之间将形成一个 $\text{CaO-Nb}_2\text{O}_5-\text{SiO}_2$ 固态层。基于这种原因，作者提出未反应核模型以更加详细地解释氯化反应的机理：熔融的 CaCl_2 起了穿过薄层产物往内扩散到未反应核的表而完成置换反应的作用。由疏松的薄层产物和未反应核构成的颗粒，其体积在整个氯化过程中假定为恒定不变。

既然参加氯化反应的三个层次均呈溶体形式，采用有效浓度或活度来处理传质和动力学问题是更需要和恰当的。

为简化计算，假定在界面上发生的氯化反应为一级反应。 MnCl_2 在稀溶体中的活度服从亨利定律，其活度系数以纯物质为标准态等于 γ^0 。 CaCl_2 的活度系数在符合未反应核模型的浓度范围内等于1。未反应核模型以方程(4)表达，其推导过程见文献[10]（参见图5）：

$$n = \frac{\frac{\Sigma n}{V} 4\pi r_0^2 (N - N_{eq})}{\frac{1}{k_d} + \frac{r_0}{D_{eff}} [(1-R)^{-1/2} - 1] + \frac{(1-R)^{-1/2}}{k' \left(\frac{\gamma^0 \gamma_{CaO}}{1 + \frac{\gamma^0 \gamma_{MnO}}{K}} \right)}} \quad (4)$$

式中： n 化学反应中消耗 CaCl_2 或 MnO 的摩尔速率 (mol/s)， R 氯化或脱锰率， r_0 原始

渣颗粒半径 (cm)， Σn 液态溶体中 CaCl_2 和 MnCl_2 的摩尔数总和 (mol)， V 溶体的体

积 (cm^4)、在整个氯化过程中为常数, k_4 穿过液态溶体边界层的质量传输系数 (cm/s), D_{eff} 穿过固态产物层的有效扩散系数 (mol/s), $k'_4 = k_4 a_{\text{MnO}}$, k_+ 是正反应的速率常数 (cm/s), K 反应的平衡常数, N 溶体中 CaCl_2 的摩尔分数, N_{eq} 在未反应核表面上 CaCl_2 的平衡摩尔分数; γ^0 稀溶体中 MnCl_2 的活度系数 (以纯物质为标准态), γ_{MnO} 、 γ_{CaO} 滤中 MnO 和 CaO 相应的活度系数。

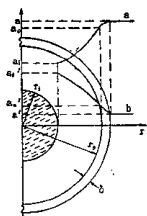


图 5 未反应核模型
a— CaCl_2 的活度曲线; b— MnCl_2 的活度曲线

用 d_0 表示滤中 MnO 的摩尔密度, mol/cm^3 , 通过积分下列关系式
 $dR/dt = 3\pi/4\pi r_0^2 d_0$, 得

$$\begin{aligned} \frac{R}{3k_4} + \frac{r_0}{6D_{\text{eff}}} [1 - 3(1-R)^{1/2}] \\ + 2(1-R)] + \frac{[1-(1-R)^{1/2}]}{k'_4(1+\gamma^0\gamma_{\text{CaO}}/K\gamma_{\text{MnO}})} \\ = \frac{\sum n}{V} (N - N_{\text{eq}}) t \end{aligned} \quad (5)$$

整理 (5) 式得 $\frac{t-t_1}{F} = A(3F-2F^2) + B$

(6)

式中 $t_1 = Vr_0 d_0 R / 3k_4 \sum n (N - N_{\text{eq}})$, $F = 1 - (1-R)^{1/2}$, $A = Vr_0^2 d_0 \cdot 1/6 D_{\text{eff}} \sum n (N - N_{\text{eq}})$, $B = Vr_0 d_0 / k'_4 \sum n (1 + \gamma^0 \gamma_{\text{CaO}})$.

$/K\gamma_{\text{MnO}}) \cdot (N - N_{\text{eq}})$ 。画出 $(t - t_1)/F$ 对 $(3F - 2F^2)$ 的曲线并作回归分析, 可得 A、B 值, 由此分别计算出 D_{eff} 和 k'_4 。下面给出一个 1050°C 的计算实例。

当 $r_0 = 0.003\text{cm}$, 滤密度为 $4\text{g}/\text{cm}^3$, 滤中 MnO 的重量百分数为 35.2% 则 $d_0 = (4 \times 0.352) / 70.94 = 0.020\text{mol}/\text{cm}^3$; $R = (0.496 - n_{\text{MnO}}) / 0.496$, 其中 0.496 是原始滤中 MnO 的摩尔数, n_{MnO} 可由图 2 换算而得。

在 1050°C, $K = 1.95 \times 10^{-3}$, 取 $k_4 = 0.023\text{cm}/\text{s}$, $\gamma_{\text{CaO}} = 5 \times 10^{-3}$, $\gamma_{\text{MnO}} = 0.5$, $\gamma^0 = 0.8$ 。

假定液态溶体是纯的 CaCl_2 共在 1050°C 时密度为 $2\text{g}/\text{cm}^3$, 则 $\sum n/V = 1 / \frac{111}{2} = 0.018\text{mol}/\text{cm}^3$, $N_{\text{eq}} = 0.804$ 。

图 6 为 $(t - t_1)/F - (3F - 2F^2)$ 曲线。1050°C 下的回归方程为 $(t - t_1)/F = 2567(3F - 2F^2) + 2123$ ($r = 0.952$)。由 A 和 B 计算得到 $k'_4 = 1.57 \times 10^{-6}\text{cm}/\text{s}$, $D_{\text{eff}} = 3.34 \times 10^{-8}\text{cm}^2/\text{s}$ 。

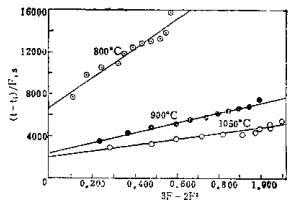


图 6 未反应核模型的 $\frac{t-t_1}{F} - (3F - 2F^2)$ 曲线

表 2 1050°C 下未反应核模型性质和化学反应阻力

阻力	脱硫率 R					
	0.20	0.40	0.60	0.70	0.80	0.90
外扩散 η_1	0.01	0.04	0.04	0.05	0.05	0.04
内扩散 η_2	69	167	221	414	638	1037
化学反应 η_3	144	174	229	277	363	576

式2为1050℃下传质和化学反应的阻力值。表中 $\eta_t = 10^{-3} \times t/k_d$, $\eta_c = 10^{-3} \times r_a \cdot [(1-R)^{-1/2} - 1]/D_{eff}$, $\eta_e = 10^{-3} \times (1-R)^{-1/2}/k_e(1 + \gamma^0 \rho_{CaO}/K \rho_{MnO})$ 。

由表可知, 脱锰率在40%以下时, 化学反应是速率的控制环节; 高于40%时, 在疏松的固态产物中的内扩散是速率的控制环节。

(三) Fe-Nb合金的制取

将坩埚中剩余的残渣溶于水中, 去除未反应的 $CaCl_2$, 干燥研磨。在1600℃下, 在

Al_2O_3 坩埚内于氩气下进行Fe-Nb合金的炼制, 以硅铁为还原剂, 硼砂为助熔剂。当渣的组成(重量百分数)为 Nb_2O_5 5.70, FeO 0.78, MnO 1.01, SiO_2 43.10, CaO 43.30, 称取40g, 获得的Fe-Nb合金其铌含量约为60% (见表3)。工业上大规模生产时, 常使用电炉炼制, 用 $CaO-CaF_2$ 作助熔剂, 一般不用氩气。炼制的Fe-Nb合金含磷硫都非常低, 因为在含铌铁水的吹炼过程中, 特别是在转炉底吹时, 几乎没有磷或硫能被氧化进入含铌炉渣之中^[11]。

表3 炼制Fe-Nb合金的实验数据

序号	温度 ℃	加热时间 min	Fe-Si(70%)	硼砂 g	Fe-Nb合金				铌的回收率 %	
					组成, wt%		重量 g			
					Nb	Fe				
1-849	1600	60	1.8	5.0	58.6	29.5	12.0	0.19	2.51	92.3
2-849	1630	60	1.8	5.0	60.2	27.5	12.4	0.16	2.50	94.4
3-849	1630	60	2.0	7.0	58.1	30.2	12.0	0.21	2.48	90.4

四、讨论

从动力学研究求出的氯化反应级数呈不规则性(表1), 其原因很可能是不适当使用方程(3)进行动力学计算。它是基于对炉渣颗粒的 MnO 作平均分析得出的, 但真实的化学反应却发生在未反应核的界面上, 核内 MnO 的含量一直保持不变。由于氯化反应只是一种简单的置换反应, 对它作出一级反应的假定在未反应核模型中还是比较可信的。

在氯化反应发生的界面上, 只要存在一个不溶解的产物层, 就可以用未反应核模型来解释反应的机理, 而不管颗粒的具体尺寸到底是多少。在我们的实验中, 炉渣颗粒要粉碎研磨, 这样作纯碎是为了加速反应速度, 对未反应核模型的正确性没有任何影响。

参考文献

[1] Shao Xianghua, In Sino-Japanese Sy-

mposium on Iron and Steel—First Symposium on Steelmaking, Beijing, China, 1981, p 183

[2] 魏寿昆, 冶金过程热力学, 上海科技出版社, 中国上海, 1980, p 91

[3] 林宇彬、周荣章等, 北京钢铁学院学报, 提纲专刊, 1985, p 47

[4] 机械工程手册(第3卷第12部), 机械工业出版社, 中国北京, 1982, p 176ff

[5] S. R. Keown, In Proceedings on the Production and Applications of Less Common Metals, Hangzhou, China, 1982, p 13-1

[6] 有色金属研究总院, 内部资料

[7] E. T. Turkdogan, Phys. Chem. of High-Temperature Technology, Academic Press, New York, 1980, p 5ff

[8] E. Steinmetz and H. Roth, J. Less Common Metals, 1968, 16, 295

[9] N. F. Neuman and A. W. Schlechten, Trans. AIME-TMS, 1958, 212, 448

[10] 谭赞麟, 工学博士论文, 北京钢铁学院, 1987

[11] Wei Shoukun and Wang Kuochen, Acta Metallurgica Sinica, 1965, 8, 10

(1987年12月15日收到修改稿)